

ポッツ模型の相転移

- 特に反強磁性相互作用について -

東工大 理 小野 豊郎

§ 1. はじめに

ポッツ模型はイジング模型を拡張してスピン状態を増した統計模型である。q-状態ポッツ模型のハミルトニアンは

$$\langle \psi | H | \psi \rangle = -J \sum_{\langle i, j \rangle} \delta(\sigma_i, \sigma_j) \quad \sigma_i = 1, 2, \dots, q$$

と表わされる。ここで、 δ はクロネッカーのデルタ関数である。強磁性相互作用 ($J > 0$) のとき、低温の秩序相のスピンはすべて同じ状態を占める。一方反強磁性相互作用 ($J < 0$) では、スピンはたがいに異なった状態を占めた方がエネルギー的に安定である。相互作用を最近接格子に限った場合、正方格子や単純立方格子のやうに2つの同等な副格子A, Bに分けられる場合と、三角格子や面心立方格子のやうに、最近接格子点同志がまた最近接格子点となる場合とでは基底状態のスピン配列の縮退やフラトレーションも異なっている。また、qの値によっても色々に変化する。ここでは、上で述べた格子上でのポッツ模型の相転移をクラスター近似とモンテカルロ・シミュレーションで調べた結果を報告する。

§ 2. 零点エントロピー

(a) 正方格子と単純立方格子

正方、単純立方格子ともA, B副格子に分けて考える。正方格子の場合を図1に示す。q=2のときは、A, B副格子はそれぞれ $\sigma=1$ と $\sigma=2$ のスピンで占められている。一方q=3のときは、例えばA副格子は $\sigma=1$, B副格子は $\sigma=2$ と $\sigma=3$ のスピンがランダムに配列した状態が基底状態になる。このとき、縮退の数は格子点の数をNとして $2^{(N/2)} \times 6$ となる。A副格子はここでは、 $\sigma=1$ と仮定したが、 $\sigma=2$ または3でもよく、また、A, B副格子のスピン配列を取り替えてもよいので、因子6がつく。スピン1個当りのエントロピーは $S/N = (1/2) \ln 2 + O(1/N) = 0.346 \dots$ となる。A副格子のスピンがすべて $\sigma=1$ の時、あるAスピンのまわりの最近接Bスピンすべて $\sigma=2$ とそろっていれば、Aスピンは $\sigma=3$ の状態も許されるから、縮退数もさらに増加する。したがって、上で述べたエントロピーの値は下限である。

q=4の場合、基底状態のスピン配列の1つは、A副格子に対しては $\sigma=1$ 、B副格子に対しては、 $\sigma=2, 3, 4$ がランダムに配列する。もう1つのタイプはA副格子は $\sigma=1, 2$ 、B副格子には $\sigma=3, 4$ のランダムな配列でもよい。前者の1個あたりのエントロピーは $(1/2) \ln 3 = 0.5493$ 、後者は $\ln 2 = 0.6931$ となり、後者の方が大きい。一般のqでは、qが偶数のときは $\ln(q/2)$ で、qが奇数のときは $(1/2) \ln q'(q'+1)$ となる。ここで、 $q = 2q' + 1$ である。

(b) 3角格子・面心立方格子

3角格子や面心立方格子のように最近接格子点同志がまた最近接格子点となる場合は事情が異なっている。q=2の場合基底スピン配列でもwrongボンドがあり、フラストレーションしている。三角格子では、wrongボンドは全体の1/3もあり、零点エントロピーは少なくとも(1/3)ln2ある。この場合、Wannier¹⁾によって指摘されているように相転移は生じない。一方、q=3では、基底スピン配列はA, B, Cの3副格子構造をとり、wrongボンドは現れない。q=4では、A, B副格子でそれぞれσ=1とσ=2、一方、C副格子ではσ=3とσ=4のランダムな配列が許されるので、このときエントロピーも(1/3)ln2よりは大きくなる。q≥5では、wrongボンドはあらわれないので、フラストレーションはない。しかし、零点エントロピーはさらに増加する。

面心立方格子では、4副格子に分けて考える。q≤3ではフラストレーションがある。q=4では、ちょうどスピンの状態と副格子を1:1に対応させることができる。q≥5では零点エントロピーがのこる。

§3. クラスタ近似²⁾

強磁性相互作用の単純な低温相にくらべこのように基底状態の縮退の多い系は相転移はなくなるか、または低温相が質的にも違ってくる可能性がある。平均場近似では、格子の形や次元の影響やフラストレーションの効果を十分に取り入れていない。さらに進んだ近似として正方形や3角形のクラスタを用いたカクタス近似で考える。さらに、自由エネルギーを比較して1次転移かどうか調べた。転移温度を表1にまとめた。

この表からわかるように、正方格子で、q=3では、kTc/|J|=0.652となり、平均場近似の4/3=1.333よりかなり低い。しかし、Baxterの厳密解³⁾やYasumuraとOguchi⁴⁾による高温展開ではスタガード帯磁率の発散はなく、転移はない。また、モンテカルロ・シミュレーション⁵⁾の結果もこれを支持している。q≥4では、相転移はない。

一方、単純立方格子では表1に示すように、q=3では平均場近似で、kTc/|J|=2に対し、正方カクタス近似で1.422となる。高温展開では、1.21で、後で示すようにモンテカルロでは1.23となる。

しかし低温温の秩序相はKosterlitz-Thouless⁶⁾型となることが示される。q=4ではkTc/|J|=0.888で更に低くなる。q=5でも、この近似では転移はあるが、q≥6では、転移はない。高温展開やモンテカルロの結果では、q=5で、すでに転移はないことが示されている。

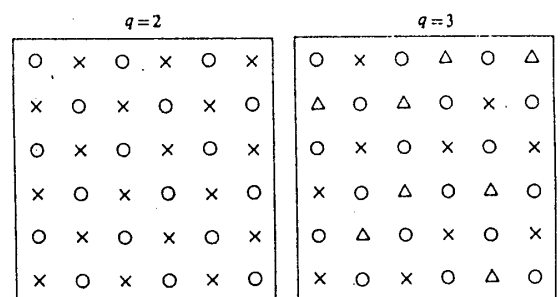


図1. 基底状態のスピン配列

表 1

(a) 正方格子

q	S/N	四角近似	高温展開	モンテカルロ
2	0	1.385 (2)	1.15	1.135
3	(1/2) ln 2	0.652 (2)	パラ	パラ
4	ln 2	0.0	パラ	パラ

(b) 単純立方格子

2	0	2.446	2.25	2.22
3	(1/2) ln 2	1.422	1.21	1.23
4	ln 2	0.888	0.64	0.7
5	(1/2) ln 6	0.53	パラ	パラ
6	ln 3	0.	パラ	
7	(1/2) ln 12	パラ	パラ	

§ 4. 単純立方格子上的 $q=3, 4$ のモンテカルロ・シミュレーション

(a) 比熱とスピン分布

2次元正方格子上的反強磁性相互作用、 $q=3, 4$ のポッツ模型のシミュレーションは *Ba*navar、JasnowとGrest⁵⁾ によって行われ、 $q=3, 4$ の場合とも相転移がないことと結論している。これはBaxterの厳密解の結論とも一致している。3次元単純立方格子のシミュレーションでは、A, B 副格子のスピン分布の差が現れることがわかったが、これが長距離の秩序状態かどうか明確になっていない。

さて、単純立方格子でのシミュレーションの結果をのべる。 $q=3$ の場合、エネルギーとそのゆらぎから求めた比熱を図2に示す。比熱は $kT/|J|=1.25$ 付近にはっきりしたピークがある。A, B 副格子に分けたスピン分布の温度変化を図3にしめす。もし、副格子に通常の長距離秩序があれば、ある特定の状態を占めるスピンの数は温度の低下とともに単純に増加するはずである。しかし、シミュレーションの結果は多数を占めるスピン状態は温度とともにはげしく変化し、安定な分布は低温でもないことがわかる。十分長いステップ平均を取れば、各副格子で分布は一様になると推定される。しかし、通常のパラ相と異なり、各ステップでの瞬間値は平均分布確率の $1/3$ より大きくゆらいでいる。

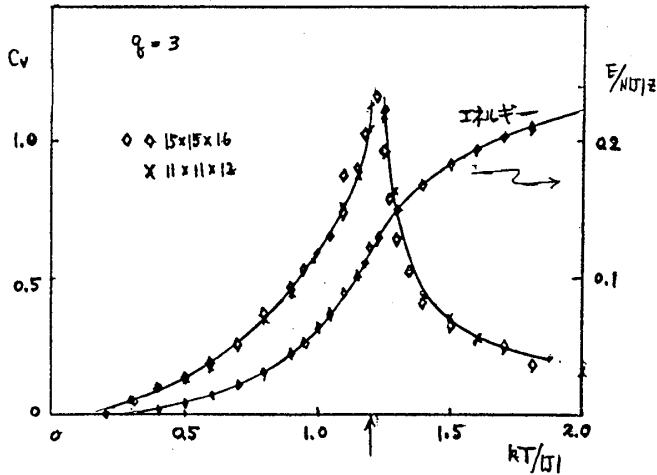


図2. 単純立方格子 $q = 3$ の比熱の温度変化

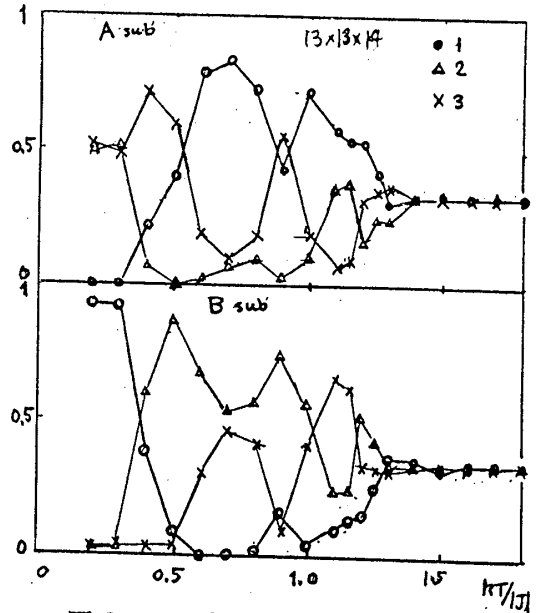


図3. スピン分布の温度変化

(b) 秩序変数とゆらぎ

ここでは、秩序変数を正確に定義し、そのゆらぎのサイズ依存性から秩序相の性格を調べた。 $q = 3$ の場合各モンテカルロ・ステップ、 t での状態 σ を占めている割合を $p_{\sigma}(t)$ として、2つの秩序変数を

$$\left. \begin{aligned} \zeta_1(t) &= p_1(t) - \frac{1}{2}[p_2(t) + p_3(t)] \\ \zeta_2(t) &= \frac{\sqrt{3}}{2}[p_2(t) - p_3(t)] \end{aligned} \right\}$$

と定義する。 $p_1 + p_2 + p_3 = 1$ であるから、この2つの秩序変数は独立になる。 ζ_1 は1軸性の秩序を表わすのに都合がよい。パラ相では両秩序変数が零になる。完全な秩序相をこの2変数 (ζ_1, ζ_2) であらわすと $(1, 0)$ 、 $(-1/2, \sqrt{3}/2)$ または $(-1/2, -\sqrt{3}/2)$ と表わされる。それぞれ、 $p_1 = 1$ 、 $p_2 = 1$ または $p_3 = 1$ に対応する。

A, B 副格子のスピンド分布は逆になっているので、反強磁性的な相を特長づける秩序変数として

$$\left. \begin{aligned} \zeta_1^- &\equiv \frac{1}{2}(\zeta_1^A - \zeta_1^B) \\ \zeta_2^- &\equiv \frac{1}{2}(\zeta_2^A - \zeta_2^B) \end{aligned} \right\}$$

をとればよい。この秩序変数の許される範囲は正六角形で表わされる。

この秩序変数のゆらぎを平均した $\langle \zeta^2 \rangle = \langle (\zeta_1^-)^2 + (\zeta_2^-)^2 \rangle$ とスピンの反強磁性的な相関関数を $Q^-(r)$ との関係は $\langle \zeta^2 \rangle = (1/N) \sum Q^-(r)$ とあらわされる。一方、相関関数 $Q^-(r)$ の距離依存性は距離 r が十分大きいとき

$$Q^-(r) \sim \frac{\exp(-kr)}{r^{d-2+\eta}}$$

のようにあらわされる。ここで、 κ は相関距離の逆数、 d は格子の次元、 η は臨界指数である。1辺 L の有限格子では

$$\frac{\Sigma Q^-(r)}{r} \sim \int_0^L Q^-(r) r^{d-1} dr$$

ここで、 $L = N^{1/d}$ である。高温領域では $L \gg 1/\kappa$ であるから、 $\frac{\Sigma Q^-(r)}{r} \rightarrow 0$ (1)となる。臨界領域では $L \ll 1/\kappa$ であるから、

$$\frac{\Sigma Q^-(r)}{r} \rightarrow \int_0^L \left(\frac{1}{r}\right)^{d-2+\eta} r^{d-1} dr \sim L^{2-\eta} \sim N^{((1-\eta)/d)}$$

となる。長距離の秩序があれば、

$$\frac{\Sigma Q^-(r)}{r} \rightarrow L^d \langle \zeta \rangle^2 \sim N \langle \zeta \rangle^2 \sim O(N)$$

となり、スピン数 N に比例する。

図4は各温度でのゆらぎのサイズの対数依存性を表わしたものである。 $T > 1.4$ ではサイズ依存性はなく、したがって、パラ相である。 $T < 1.2$ では、明らかにサイズとともに増加する。したがって、 $N^a(T)$ とおけば、この勾配より N の指数 $a(T)$ を求めることができる。

図5に指数 $a(T) = ((2-\eta)/d)$ の温度変化をまとめた。 $T = 1.4$ 付近で $a(T)$ は急激に増加するが、 $T = 1.1$ 以下ではゆるやかで一定の増加を示す。もし、長距離秩序があれば、 $a(T) = 1$ となるはずであるが、少し小さく通常の秩序でないことがわかる。相関関数は距離のべきで減少し、いわゆるKosterlitz-Thouless型の相となっていることがわかる。

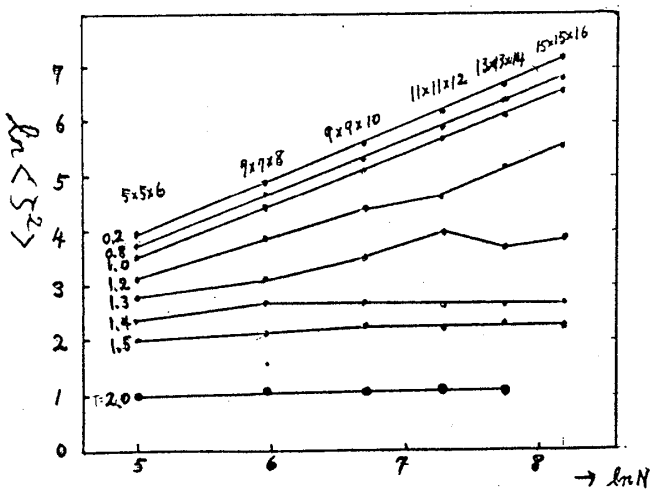


図4. 秩序変数のゆらぎのサイズ依存性

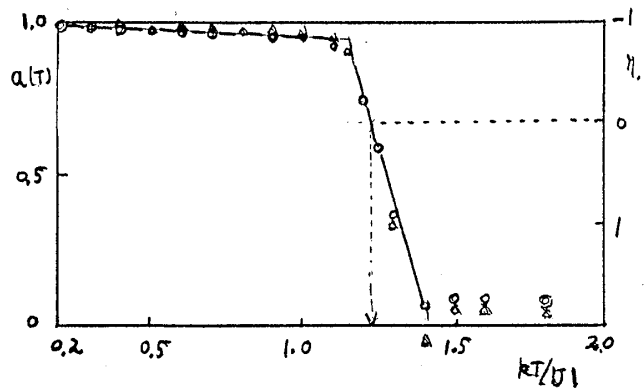


図5. 指数 $a(T)$ の温度変化

(c) $q = 4$ の場合

この場合、図6から明らかなように、比熱のピークは $kT/|J| = 0.7$ 付近にある。スピン状態の分布の温度変化を図7に示す。比熱のピーク以下の温度で、A格子 $\sigma = 1$ と $\sigma = 3$ のスピンの割合が増加し、 $\sigma = 2$ と $\sigma = 4$ のスピンは減少することがわかる(図7)。B格子ではこの逆になっている。しかも低温になるほど分布は安定になっていく。 $q = 3$ の場合とちがって、よい秩序ができていくことがわかる。勿論、絶対零度でも $\sigma = 1$ と $\sigma = 3$ はA格子を半々に占めており、零点エントロピーは残っている。

念のため、秩序変数のゆらぎを調べてみる。独立な秩序変数として、

$$\left. \begin{aligned} \zeta_x &= \frac{1}{\sqrt{3}} (p_1 + p_2 - p_3 - p_4) \\ \zeta_y &= \frac{1}{\sqrt{3}} (p_1 - p_2 - p_3 + p_4) \\ \zeta_z &= \frac{1}{\sqrt{3}} (p_1 - p_2 + p_3 - p_4) \end{aligned} \right\}$$

を用いる。反強磁性の秩序変数として、 $\zeta_x^- = (1/2) (\zeta_x^A - \zeta_x^B)$ とすれば、ゆらぎ $\langle (\zeta_x^-)^2 + (\zeta_y^-)^2 + (\zeta_z^-)^2 \rangle$ を求め、図8に示すように、サイズ依存性を調べた。転移温度付近を除くと、 N のべき指数 $a(T)$ は高温で0、低温でほぼ1となることわかった。(図9) これで、長距離秩序が存在することが確かめられた。

2次元正方格子の場合は、 $q = 4$ では相転移はないが、3次元の場合秩序相が低温で生じるのが特長である。

§ 5. おわりに

反強磁性ポッツ模型の正方格子と単純立方格子の相転移をクラスター近似とモンテカルロ・シミュレーションで調べた。正方格子では $q \geq 3$ で秩序相はない。単純立方格子では、 $q = 3$ の場合、低温でK-T相、 $q = 4$ は2副格子秩序が見出された。

面心立方格子については、現在、クラスター近似とモンテカルロ・シミュレーションで調べている。

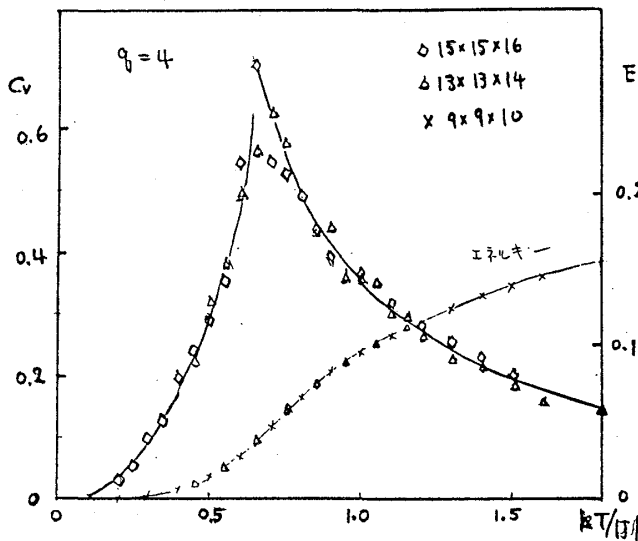


図6. 単純立方格子 $q = 4$ の比熱の温度変化

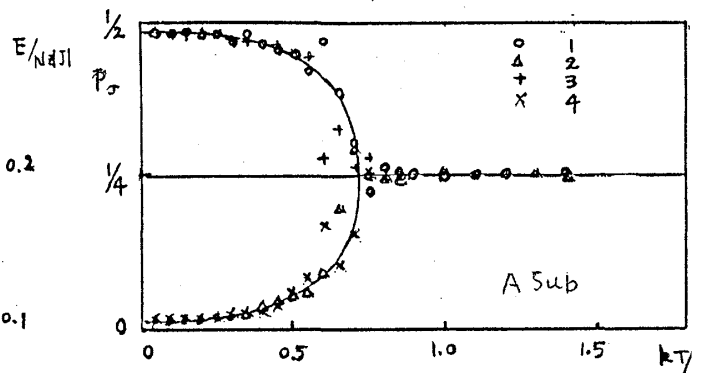


図7. スピン分布の温度変化

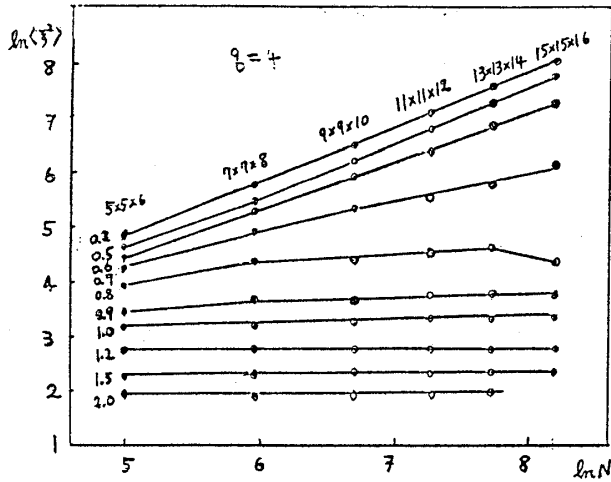


図 8. 秩序変数のゆらぎ

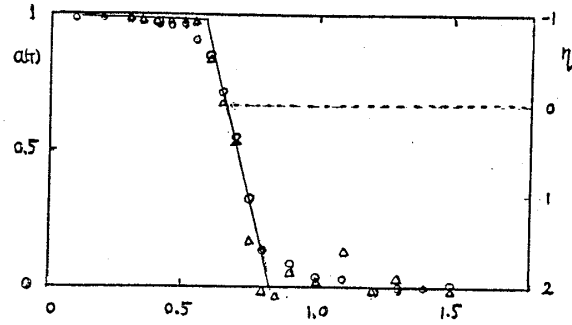


図 9. 指数 $a(T)$ の温度変化

参考文献

- 1) G. H. Wannier: Phys. Rev. 79 (1950) 357.
- 2) I. Ono: J. Phys. Soc. Jpn 44 (1978) 1033.
- 3) R. J. Baxter: Proc. R. Soc. London A383 (1982) 43.
- 4) K. Yasumura and T. Oguchi: J. Phys. Soc. Jpn 53 (1984) 515.
- 5) J. R. Banavar, G. S. Jasnow and Grest: Phys. Rev. Lett. 45 (1980) 1224; Phys. Rev. B 25 (1982) 4639.
- 6) J. M. Kosterlitz and D. J. Thouless: J. Phys. C6 (1973) 1181.